

УДК 621.396

## ОБ АНАЛИЗЕ МНОГОЛУЧЕВОЙ СТРУКТУРЫ ИМПУЛЬСНЫХ ХАРАКТЕРИСТИК НЕКОТОРЫХ АНТЕНН

Ю.А. КРАСНИТСКИЙ

Предлагается ряд способов фильтрации отдельных компонентов в импульсах различной физической природы посредством цифровой обработки. Подробно рассматриваются возможности применения метода эмпирической модовой декомпозиции (ЕМД) к импульсным характеристикам (ИХ) некоторых антенн. Установлено, насколько метод ЕМД, применяемый к ИХ антенн, отвечает их физической природе. Решается задача оценки взаимных корреляционных связей компонентов ИХ, порожденных многолучевостью. Приведен пример анализа реальной ИХ широкополосной дипольной антенны с помощью специально разработанных программ в вычислительной среде Matlab.

**Ключевые слова:** импульсный отклик системы, эмпирическая модовая декомпозиция, аналитический сигнал, корреляционные связи.

### 1. Введение

Решение многих проблем в радиолокации, гидроакустике, геофизике, медицинской диагностике и т.д. начинается с ввода информации, содержащейся в некоторых сигнальных формах. Вследствие искажений, связанных обычно с трудно интерпретируемыми причинами, эти формы часто описываются только в общих чертах. Таким образом, чаще всего постулируется линейная модель сигнала

$$e(t) = L[i(O, t)]. \quad (1)$$

Применительно к антеннам это уравнение отражает результат действия линейного оператора  $L$  на импульс тока

$$i(O, t) = i(x, y, z, t) |_{x=y=z=0}, \quad (2)$$

которым возбуждается источник определенной геометрической формы, создающий наблюдаемый сигнал  $e(t)$ . Значения  $x=y=z=0$  задают начало декартовой системы координат, связанной с источником. Если источник пространственно протяженный (например, нить тока), то  $x, y, z$  обозначают текущее положение излучающей точки.

Таким образом, оператор  $L$  в (1) содержит всю информацию о структурных особенностях источника и трассы распространения сигнала. Моделирование поля излучения источника, или прямая задача, а также нахождение характеристик трассы (и / или источника) по принятому сигналу, т.е. обратная задача, требует некоторых знаний об операторе  $L$ , полученных теоретическим или экспериментальным путем.

Во многих приложениях особый интерес представляет обратная задача восстановления вида оператора  $L$  из наблюдаемых данных  $e(t)$  при минимальной априорной информации об источнике и форме импульса (1). Как правило, точное описание оператора  $L$  неизвестно. При отсутствии лучших вариантов  $L$  в (1) целесообразно считать оператором свертки, исходя из теории линейных инвариантных во времени стационарных систем (ЛИВС) [1, 2]. Предполагается, что сигнал  $e(t)$ , или функция отклика, образован сверткой входного воздействия с ИХ некоторой системы (например, некоего четырехполюсника), описывающей канал формирования сигнала. Ни входной импульс, ни свойства канала в деталях обычно неизвестны. В упрощенной записи уравнение свертки имеет вид

$$e(t) = i(0, t) * h(t) = i(0, t) * h_s(t) * h_{tr}(t), \quad (3)$$

где  $h(t)$ ,  $h_s(t)$ ,  $h_{tr}(t)$  - импульсные характеристики системы (ИХС), источника (ИХИ) и трассы (ИХТ) распространения сигнала соответственно, а звездочка символизирует операцию свертки. Математически  $h_s(t) * h_{tr}(t)$  - это импульсный отклик ЛИВС при  $i(0, t) = \delta(t)$ , где  $\delta(t)$  - дельта-функция Дирака.

В действительности ИХИ  $h_s(t)$  зависит от особенностей излучателя, в частности, его геометрии и свойств конструкционных материалов. Представляя излучатель в виде решетки элементарных электрических диполей, получаем

$$h_s(t) = h_{el}(t) * h_{arr}(t), \quad h(t) = h_{el}(t) * h_{arr}(t) * h_{trace}(t), \quad (4)$$

где

$$h_{el}(t) = F^{-1}\{\dot{H}_{el}(i\omega)\} = F^{-1}\left\{\frac{1}{r^2} - i\left(\frac{1}{kr^3} - \frac{k}{r}\right)\right\} - \quad (5)$$

- импульсный отклик, описываемый обратным преобразованием Фурье  $F^{-1}$  от передаточной функции одного из этих диполей. В (5) последняя заключена в фигурные скобки, где  $k=\omega / c$ ,  $r$  - расстояние до точки наблюдения. Функция  $h_{arr}(t)$  – это реакция антенной решетки, которая образована множеством диполей, замененных точечными ненаправленными излучателями.

Для некоторых источников эти диполи могут быть идентифицированы как вполне определенные структурные неоднородности, объединенные в некоторую дискретную решетку [3, 5].

Во многих случаях наблюдаемый сигнал можно интерпретировать как результат интерференции нескольких волн, пришедших в точку приема различными путями. Обычно природа многолучевости связана с определенными отражениями в канале распространения, хотя истинные физические причины могут быть иными. Чтобы осуществить "редукцию сигнала к входу системы", необходимо оценить влияние многолучевости и устранить его из сигнала.

Обратные задачи этого вида достаточно сложны. Решение применительно к ЛИВС в идеале предполагает восстановление всех членов в уравнении (3), или деконволюцию. Наибольшие осложнения возникают, если в (3) известен только наблюдаемый сигнал  $e(t)$ . В таких условиях находят применение некоторые методы слепой деконволюции. Проблема становится еще более сложной, если выход, т.е. левая часть в (3), представляет собой одиночный неповторяющийся сигнал, что, таким образом, исключает применение статистических методов. Примером может служить электромагнитный импульс, генерируемый разрядом молнии [4, 5].

Методы решения могут быть основаны, в частности, на разложении по эмпирическим модам (ЕМД) [7-9], сингулярном разложении, разложении по эмпирическим ортогональным функциям и пр. [2]. Далее мы ограничимся исследованием применимости ЕМД к анализу ИХ плоскостного биконического вибратора [3]. В качестве экспериментальных данных были выбраны ИХ из [6]. Интересно выяснить, отвечает ли метод ЕМД физической природе этих сигналов и каковы корреляционные связи, т.е. степень взаимной независимости, характерных компонентов ИХ. Это может служить первым шагом при выделении отдельных волн, интерферирующих в точке наблюдения.

Для получения результатов были использованы специально разработанные программы на Matlab.

## 2. Структура многолучевого сигнала во временной области

В реальной среде трасса в (3) становится многолучевой благодаря отражениям, дифракции, рассеянию и т.д. Пренебрегая возможными искажениями, можно написать

$$h_{rr}(t) = 1 + \sum_{n=1}^N a_n \delta(t - \tau_n), \quad (6)$$

где  $\tau_n$  - задержки во времени,  $a_n$  - весовые коэффициенты ( $|a_n| < 1$ ) для  $n$ -го индивидуального пути.

Раздельные оценки ИХИ и ИХТ в (3) сильно затруднены, если геометрические и электрофизические структуры источника включают дискретные или протяженные неоднородности [5]. Упрощая, можно предположить, что

$$h_s(t) = 1 + \sum_{m=1}^M b_m \delta(t - t_m) \quad (7)$$

где  $\tau_m$  и  $b_m$  - задержки во времени и коэффициенты возбуждения неоднородностей

### Об анализе многолучевой структуры импульсных характеристик некоторых антенн

соответственно. Поэтому, когда каждый  $\delta$ -импульс в (7) воздействует на ИХТ (6), он в результате свертки будет создавать цуг импульсов

$$h_{imp}(t) = h_s(t) * h_{tr}(t) = \left[ 1 + \sum_{m=1}^M b_m \delta(t - \tau_m) \right] * \left[ 1 + \sum_{n=1}^N a_n \delta(t - \tau_n) \right], \quad (8)$$

и вместо (3) можно получить

$$e(t) = i(0, t) * \left[ 1 + \sum_{m=1}^M b_m \delta(t - t_m) \right] * \left[ 1 + \sum_{n=1}^N a_n \delta(t - t_n) \right] = i(0, t) * h_{imp}(t), \quad (9)$$

где ИХ  $h_{imp}(t)$  отображает взаимодействие сигналов, передаваемых в точку наблюдения различными путями. Каждый  $m$ -й импульс из ИХИ (7) в соответствии с ИХТ (6) создает  $(N+1)$ -импульсную последовательность. Таким образом, в рамках модели ЛИВС общее число импульсов в временном ряде (6) может составлять  $(M+1) \times (N+1)$ , даже если не принимать во внимание возможность рассеяния внутри канала распространения.

В общем случае во временных рядах (8) и (9) будет присутствовать частичное или полное наложение некоторых импульсов из разных последовательностей. Как правило, определение порядка следования и происхождения отдельных импульсов представляет собой достаточно сложную задачу.

### 3. Разложение по эмпирическим модам во временной области

Рассматриваемое разложение предложено Н. Е. Хуангом в 1998 году [см., например, 7]. Это метод адаптивного разложения произвольного сигнала  $u(t)$  на конечное множество квазиколебательных компонентов, или "внутренних" (intrinsic) модальных функций (IMFs), называемых в дальнейшем характерными модами (ХМ). Они извлекаются непосредственно и адаптивно из обрабатываемого сигнала, естественным образом образуя множество ХМ как неких базисных функций. Этот процесс называется «просеиванием» и создает аддитивное отображение сигнала  $u(t)$  в виде:

$$u(t) = \sum_{m=1}^M c_m(t) + r(t). \quad (10)$$

где  $c_m(t)$ ,  $m=1, \dots, M$  – число ХМ,  $r(t)$  – остаток, или последний член разложения, описывающий тренд. Каждая ХМ в (10) должна подчиняться двум обязательным условиям:

- а) число экстремумов и число пересечений нулевой линии не должны отличаться более чем на 1;
- б) быть симметричной по отношению к локальным нулевым средним.

Алгоритм просеивания подробно описан в литературе [см., например, 7-9]. На его основе были проведены обширные исследования применимости ЕМД в различных областях. Однако, представляется, что корреляционные свойства слагаемых  $c_m(t)$  в (10) еще не изучены должным образом.

Мы могли бы заменить определенный сигнал  $u(t)$  его моделью (10), пользуясь результатами ЕМД-разложения. На рис. 1 предлагается некоторый "физически допустимый" способ представления этого сигнала в виде суммы ХМ с использованием операции свертки. Уравнение (10) показывает, что обрабатываемый сигнал  $u(t)$  возможно интерпретировать как результат взаимодействия различных ХМ общим числом  $M$  друг с другом.

Таким образом, можно считать, что каждая ХМ распространяется от общего источника до точки наблюдения по собственной траектории. Другими словами, модель (10) позволяет рассматривать  $u(t)$  как некоторый условный многолучевой сигнал. В самом деле, вместо (10) можно написать

$$u(t) = \sum_{m=1}^M u_0(t) * [h_m(t) + r(t)] = u_0(t) * h_{imp}(t) \quad (11)$$

Входной сигнал  $u_0(t)$  одинаков для каждой из ХМ, но каждая из них, взятая отдельно,

т.е.  $c_m(t)$ , есть результат свертки  $u_0(t)$  с некоторой функцией  $h_m(t)$ . Таким образом, структуры уравнений (8) и (11) аналогичны.

Вследствие линейности соотношения (11) можем получить

$$h_{imp}(t) = \sum_{m=1}^M h_m(t) + h_r(t). \quad (12)$$

Структура предлагаемой модели показана на рис. 1. Она позволяет рассматривать отдельные ХМ как некие взаимодействующие волны, распространяющиеся в точку наблюдения по различным путям. Это создает дополнительные возможности для анализа интерференционной природы многолучевых сигналов вида (9).

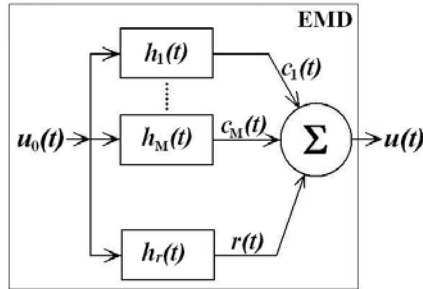


Рис. 1. Модель сигнала, основанная на ЕМД во временной области.

В качестве примера рассмотрим ИХ так называемой антенны-“бабочки” (bow-tee antenna), схематически показанной на рис. 2а и представляющей собой плоскостной вариант биконического вибратора [3]. Предполагается, что она изготовлена из хорошо проводящего материала, а излучающие структурные неоднородности представлены только входными зажимами в зазоре и торцами антенны. Именно в этих областях скорость импульса тока возбуждения изменяет свою величину и/или направление, что и обуславливает излучение. Благодаря широкополосным свойствам ее широко используют в различных областях для излучения и приема предельно коротких импульсов. В упрощенном виде импульсный отклик этой антенны приведен на рис. 2 б.

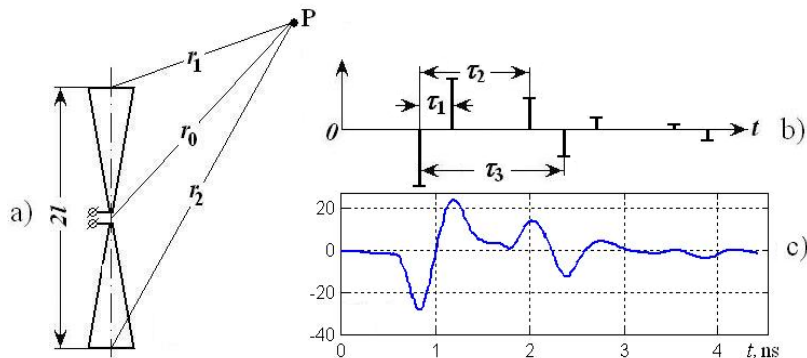


Рис. 2. Схематическое изображение диполя типа „бабочка” (а), предполагаемая (b) и реальная ИХ (с) этой антенны.

Таким образом, антенну можно представить как решетку из трех элементов. Их излучение достигает точки наблюдения  $P$  с соответствующими задержками относительно момента времени  $\tau_0=r_0/c$ , равными

$$\tau_1 \approx (l+r_1-r_0)/c; \quad \tau_2 \approx (l+r_2-r_0)/c; \quad \tau_3 \approx (2l-r_0)/c, \quad (13)$$

где  $l$  - длина плеча антенны,  $c$ -скорость света. Все остальные символы понятны из эскиза.

Экспериментальные данные для  $2l=0,5$  м [6] представлены на рис. 2с. Видно, что сигналы (b) и (c) имеют одинаковую временную структуру. Каждый идеализированный  $\delta$ -импульс, показанный на рис. 2b, превращается в квазигауссов импульс на рис. 2с. Вследствие отражений тока от концов антенны наблюдается последовательное и

### Об анализе многолучевой структуры импульсных характеристик некоторых антенн

многократное возбуждение элементов эквивалентной решетки, и если не учитывать потери, процесс излучения можно считать периодическим и рассматривать антенну как фильтр с бесконечной ИХ. Положения экстремумов в последовательности (с) на рис. 3 позволяют оценить значения задержек и величину периода, близкую к  $\tau_3$ .

Вид входного импульса, т.е. сигнал  $u_0(t)$  в (11) и на рис.1, возбуждавший эту последовательность, неизвестен. Задача, рассматриваемая ниже, это попытка извлечь некоторую информацию о нем из реализации на рис. 2с, чтобы на основе модели, предложенной ранее, уточнить в дальнейшем значения задержек в (13).

Результаты применения ЕМД к сигналу  $c$  показаны на рис. 3б, где все ХМ показаны в порядке, определяемом процедурой просеивания. Амплитуды и квазипериоды колебаний проявляют тенденцию к увеличению сверху вниз. Видно, что самые “верхние” ХМ с номерами 1 и 2 сильно загрязнены шумами. Из-за малости амплитуд их не следует учитывать в дальнейшем анализе. То же самое относится и к “нижней” ХМ, или остаточному члену, который описывает самый медленный компонент разложения, т.е. тренд. В качестве основных элементов разложения выступают более быстрые ХМ (3-8) с большими амплитудами, определяющие энергетику сигнала.

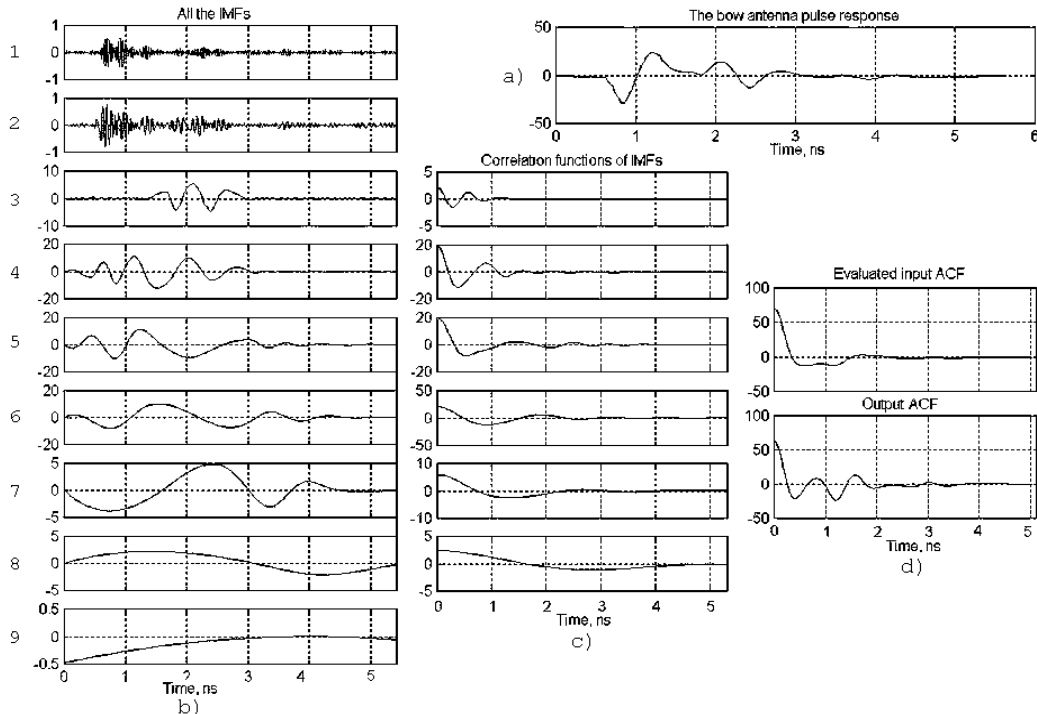


Рис. 3. Обрабатываемый сигнал (а), его разложение по методу ЕМД (b); корреляционные соотношения (с, d).

Единственно доступным объектом для измерений в модели (рис. 1) может быть лишь выходной импульс  $u(t)$ . Эта ситуация возникает всегда при наблюдении природных явлений и часто - при геофизических и медицинских исследованиях. Некоторые сведения о способах формирования сигнала, т.е. о функциях  $u_0(t)$  и  $h_{imp}(t)$  в (11), могут быть основаны на оценочных предположениях. Чтобы получить общее представление о свойствах входного импульса  $u_0(t)$ , в реальных условиях отличающегося от  $\delta(t)$ , имеет смысл изучить автокорреляционные функции (АКФ) отдельных ХМ. Для энергетически значимых ХМ с номерами от 3 до 8 они показаны на рис. с.

В табл. 1 приведена верхняя треугольная матрица, составленная из коэффициентов взаимной корреляции различных ХМ. Видно, что связь между отдельными модами довольно слаба, поскольку среднее значение всех коэффициентов, называемое индексом ортогональности, невелико и составляет приблизительно 0,27. Другими словами, отдельные ХМ мало зависят друг от друга, хотя ортогональность в строгом смысле отсутствует.

Коэффициенты взаимной корреляции различных ХМ

IMF No	3	4	5	6	7	8
3	1.0000	0.2007	-0.0702	0.0264	0.1604	0.1369
4		1.0000	-0.0229	-0.1865	0.0216	-0.0507
5			1.0000	0.1155	-0.3350	-0.0902
6				1.0000	-0.0782	0.1437
7					1.0000	-0.0365
8						1.0000

Если применительно к ИХ на рис. 2с и 3а считать, что импульс  $u_0(t)$  играет роль  $\delta$ -импульса, то каждая ХМ на рис. 2 должна представлять ИХ соответствующей трассы. В силу слабой связи эквивалентная характеристика параллельных трасс будет суммой всех ХМ. Она может служить оценкой автокорреляционной функции (АКФ) неизвестного входного сигнала в модели (11), которая показана на верхнем графике (рис. 3д). Под ней изображена АКФ выходного сигнала  $u(t)$ , найденная через его энергетический спектр с помощью теоремы Винера-Хинчина [2].

#### 4. Заключение

Заметим, что параллельная модель (11, 12) ЕМД–разложения (рис. 1) физически неадекватна, если линейная система обладает последовательной (каскадной) структурой. Тогда ее выходной сигнал имеет вид

$$u(t) = u_0(t) * h_1(t) * \dots * h_n(t) * \dots * h_N(t), \quad (14)$$

где  $h_n(t)$  – ИХ  $n$ -го каскада. В этом случае параллельная модель физически не соответствует сверточной природе сигнала (14). Чтобы найти сверточные компоненты, необходимо выполнить гомоморфное преобразование этого сигнала и перейти из временной области в область комплексного логарифмического спектра

$$\dot{S}_L(i\omega) = \text{Log}\{F[u(t)]\} = \text{Log} \prod_{n=1}^N \dot{S}_n(i\omega) = \sum_{n=1}^N [\log|\dot{S}_n(i\omega)| + i\varphi_n(\omega)], \quad (15)$$

где  $F$  и  $\text{Log}$  – символы преобразования Фурье и комплексного логарифма соответственно,  $\varphi_n(\omega)$  – фаза комплексного спектра  $S_n(i\omega)$ . В этой области сверточные компоненты сигнала аддитивны, следовательно, ) ЕМД является адекватным методом как разложения суммы (15).

В общем случае необходимо учитывать известные связи [8, 10, 11] реальной и мнимой частей (или модуля и фазы) последней. Однако, подробный анализ ЕМД для последовательной модели (14) требует отдельного исследования и выходит за рамки этой работы.

#### Литература

1. М. Н. Hayes (1996). Statistical digital signal processing and modeling. – N.Y., Wiley & Sons.
2. А. А. Большаков, Р. Н. Каримов (2007). Методы обработки многомерных данных и временных рядов.- М.: Горячая линия – Телеком.
3. С. А. Balanis (1997). Antenna theory: analysis and design. – N.Y., Wiley & Sons.
4. Yu. A. Krasnitsky (1994). Evaluation of lightning current pulse parameters from spherics waveforms.- Journ. of Geophys. Res., 99, No. D5, 10723-10725.
5. Yu. A. Krasnitsky (2000). Lightning spherics: analysis of the thin structure. – Computer modelling and new technologies, 4, No.2, 79 – 83.
6. А.А. Lestari, А.Г. Yarovoy, L.P. Lighthart (2001). Numerical analysis of transient antennas. – Proc. Int. Conf. on Electromagnetics in Advanced Applications. Turin, Sept. 10-14, 435-438 .

## ***Об анализе многолучевой структуры импульсных характеристик некоторых антенн***

7. N. E. Huang, S. S. P. Shen, Eds. (2005) Hilbert-Huang transform and its applications. – Singapore, World Scientific.
8. T. Tanaka, D. Mandic (2007). Complex empirical mode decomposition. – IEEE Sign. Proc. Lett., V. 14, No 2, 101-104.
9. Yu. A. Krasnitsky (2009). Pseudocepstral analysis of transient pulses based on empirical mode decomposition. – Transport and Telecommunication, V. 10, No 3, 4-9.
10. G. Rilling et al. (2007). Bivariate empirical mode decomposition. – IEEE Sign. Proc. Lett., V. 14, No 12, 936-939.
11. S. L. Hahn (1996). Hilbert transform in signal processing. – No

### **REFERENCES**

1. M. H. Hayes (1996). Statistical digital signal processing and modeling. – N.Y., Wiley & Sons.
2. A. A. Bol'shakov, R. N. Karimov (2007). Metody obrabotki mnogomernykh dannykh i vremennykh ryadov.- M.: Goryachaya liniya – Telekom.
3. C. A. Balanis (1997). Antenna theory: analysis and design. – N.Y., Wiley & Sons.
4. Yu. A. Krasnitsky (1994). Evaluation of lightning current pulse parameters from spherics waveforms.- Journ. of Geophys. Res., 99, No. D5, 10723-10725.
5. Yu. A. Krasnitsky (2000). Lightning spherics: analysis of the thin structure. – Computer modelling and new technologies, 4, No.2, 79 – 83.
6. A.A. Lestari, A.G. Yarovoy, L.P. Lighthart (2001). Numerical analysis of transient antennas. – Proc. Int. Conf. on Electromagnetics in Advanced Applications. Turin, Sept. 10-14, 435-438 .
7. N. E. Huang, S. S. P. Shen, Eds. (2005) Hilbert-Huang transform and its applications. – Singapore, World Scientific.
8. T. Tanaka, D. Mandic (2007). Complex empirical mode decomposition. – IEEE Sign. Proc. Lett., V. 14, No 2, 101-104.
9. Yu. A. Krasnitsky (2009). Pseudocepstral analysis of transient pulses based on empirical mode decomposition. – Transport and Telecommunication, V. 10, No 3, 4-9.
10. G. Rilling et al. (2007). Bivariate empirical mode decomposition. – IEEE Sign. Proc. Lett., V. 14, No 12, 936-939.
11. S. L. Hahn (1996). Hilbert transform in signal processing. – No

### **Сведения об авторе**

***Краснитский Юрий Александрович*** (1938), окончил Ленинградский институт точной механики и оптики (1961), доктор физико-математических наук, профессор, кандидат технических наук, профессор кафедры телекоммуникаций Института транспорта и связи (Рига, Латвия), автор около 150 научных работ. Области научных интересов – радиофизика, радиолокация, цифровая обработка сигналов.